

文章编号: 1671-7848(2008)03-0306-04

基于降维观测器的网络控制系统的容错控制

钟戈, 张庆灵

(东北大学系统科学研究所, 辽宁沈阳 110004)



摘要: 针对被控对象是线性定常系统的网络控制系统, 设传感器与控制器均为时间驱动, 未能成功传输数据的传感器节点视为暂时失效, 将网络控制系统建模为一类具有时变传感器“故障”的系统。此类系统相当于一个有限子系统的切换系统。借助容错控制和切换系统理论, 利用 Luenberger 降维观测器估计系统状态, 采用李亚普诺夫理论和线性矩阵不等式描述方法, 给出了闭环系统渐近稳定的充分条件和控制器的设计方法。通过 Matlab 数值仿真算例, 证明了分析方法和结果的有效性。

关键词: 网络控制系统; 降维观测器; 容错控制

中图分类号: TP 273 **文献标识码:** A

Fault-tolerant Control of Networked Control Systems Based on Reduced-order Observer

ZHONG Ge, ZHANG Qing-ling

(Institute of Systems Science, Northeastern University, Shenyang 110004, China)

Abstract: Considering a networked control system with an linear time-invariant plant, the sensors and controllers are assumed time-driven, the sensors failing to transmit data are treated to be invalidated temporarily, and the networked control system is modeled as a system with time-variant sensors fault. Such a system is a switched system with finite subsystems. With the theory of Lyapunov and linear matrix inequality formulation, the sufficient condition for the asymptotic stability of the closed-loop system is proposed based on Luenberger reduced order state observer and the design approach of the controller and observer is given. A numerical simulation example with Matlab shows that the analysis method and the results are valid and feasible.

Key words: networked control systems; reduced order observer; fault-tolerant control

1 引言

网络控制系统诞生于 20 世纪 70 年代, 相比于传统的点对点结构, 有很多自身的优点, 如提高系统的可靠性和灵活性、可以实现远程操作与维护、减少系统的成本和易于安装和维护等。

“容错 (Fault-tolerance) 是容忍故障的简称。一般按设计特点分为被动和主动容错控制。前者是设计适当固定的结构的控制器, 使系统在执行器、传感器和其他部件失效时, 保障系统仍然稳定和具有令人可接受的性能, 在故障发生前和发生后使用同样的控制策略; 后者是在故障发生后需要重新调整控制器参数, 也可能改变控制器结构^[1]。

关于网络控制系统的全维状态观测器设计已有研究^[2], 而对于降维观测器, 目前则很少讨论。由于降维观测器维数相对较低, 只需较少的积分器便可构造, 因而简化了观测器和整个反馈系统结构, 使其在物理实现上更方便, 从而降低了成本。所以, 在条件允许的情况下应该优先考虑使用。

为此, 本文提出一种 Luenberger 降维状态观测器设计方案^[3~5], 并证明了在传感器发生故障时系统仍然稳定。

2 问题描述

考虑网络控制系统的被控对象状态方程为

$$\begin{cases} \dot{x}(t) = Ax(t) + Bu(t) \\ y(t) = Cx(t) \end{cases} \quad (1)$$

式中, $x(t) \in \mathbf{R}^n$, 为被控对象状态向量; $u(t) \in \mathbf{R}^p$, 为控制输入; $y(t) \in \mathbf{R}^q$, 为输出向量; A, B, C 是具有相应维数的常矩阵; (A, B) 可控, (A, C) 可观。

有关假设如下:

假设 1 传感器节点和控制器节点均采用时间驱动, 周期为 T , 且它们的时钟完全同步。

假设 2 传感器采样被控对象的输出, 每个传感器节点的数据为单包传输, 其数据包带有节点的标识。

假设 3 数据在网络上的传输时间远小于节点

收稿日期: 2006-10-11; 收修定稿日期: 2007-04-27

作者简介: 钟戈 (1979-), 男, 辽宁鞍山人, 研究生, 主要研究方向为网络控制系统、容错控制等; 张庆灵 (1956-), 男, 教授, 博士生导师。

竞争发送权所花费的时间。

假设 4 网络诱导时延小于采样周期。

由于网络诱导时延的影响，即使传感器数据成功传输到控制器节点，控制器也只能在下一个计算时刻利用该数据计算控制量，而未能成功传输的传感器节点的数据为 0。则有如下的关系成立：

$$\bar{y}_i = \begin{cases} y_i(k), & \text{第 } i \text{ 个传感器正常,} \\ \alpha \times y_i(k-1), & \text{第 } i \text{ 个传感器部分失效,} \\ 0, & \text{第 } i \text{ 个传感器完全失效,} \end{cases} \quad i = 1, \dots, m \quad (2)$$

式中， $\bar{y}(k) = [\bar{y}_1(k), \dots, \bar{y}_m(k)]^T$ ，为控制器的输入。

引入矩阵 $L(k) = \text{diag}(l_1(k), \dots, l_m(k))$ 描述“故障”情况，其中，

$$l_i(k) = \begin{cases} y_i(k) = 1, & \text{第 } i \text{ 个传感器正常,} \\ y_i(k) = \alpha, & \text{第 } i \text{ 个传感器部分失效,} \\ y_i(k) = 0, & \text{第 } i \text{ 个传感器完全失效,} \end{cases} \quad (i = 1, \dots, m)$$

将被控对象按传感器的周期离散化，得：

$$\begin{cases} x(k+1) = \bar{A}(k) + \bar{B}u(k) \\ y(k) = Cx(k) \end{cases} \quad (3)$$

式中， $\bar{A} = \exp(AT)$ ； $\bar{B} = \int_0^T \exp(A\tau) d\tau B$ 。

因此，可得包含网络的广义被控对象的离散化时间模型为

$$\begin{cases} x(k+1) = \bar{A}(k) + \bar{B}u(k) \\ \bar{y}(k) = \bar{L}x(k-1) \end{cases} \quad (4)$$

式中， $\bar{y}(k) = L(k-1)Cx(k-1)$ ； $\bar{L} = L(k-1)C$ 。

3 容错控制器的设计

由式(4)知，广义被控对象的输出具有一步时延，为此可构造状态观测器，利用观测器的一步预测功能，估计本周期的被控对象状态，以削弱时延对系统的影响^[6,7]。以前的研究中都是构造全维观测器，而本文采用的是 Luenberger 降维观测器。

引理 1^[4] 如果存在矩阵 $T \in \mathbf{R}^{(n-g) \times n}$ ，使

$$\Delta V(k) = V(k+1) - V(k) = x^T(k+1)Px(k+1) + z^T(k+1)Sz(k+1) + x^T(k)Rx(k) - x^T(k)Px(k) - z^T(k)Sz(k) - x^T(k-1)Rx(k-1) =$$

$$\begin{pmatrix} x(k) \\ z(k) \\ x(k-1) \end{pmatrix}^T \begin{pmatrix} \bar{A}^T \bar{P} \bar{A} + R - P & \bar{A}^T \bar{P} \bar{B} K Q_2 & \bar{A}^T \bar{P} \bar{B} K Q \bar{L} \\ Q_2^T K^T \bar{B}^T \bar{P} \bar{A} & Q_2^T K^T \bar{B}^T \bar{P} \bar{B} K Q_2 + M_1^T S M_1 - S & (Q_2^T K^T \bar{B}^T \bar{P} \bar{B} K Q_1 + M_1^T S M_2) \bar{L} \\ \bar{L}^T Q_1^T K^T \bar{B}^T \bar{P} \bar{A} & \bar{L}^T (Q_1^T K^T \bar{B}^T \bar{P} \bar{B} K Q_2 + M_2^T S M_1) & \bar{L}^T (Q_1^T K^T \bar{B}^T \bar{P} \bar{B} K Q_1 + M_1^T S M_2) \bar{L} - R \end{pmatrix} \begin{pmatrix} x(k) \\ z(k) \\ x(k-1) \end{pmatrix}$$

根据李亚普诺夫稳定性理论，若 $\Delta V(k) < 0$ ，则系统渐近稳定，即等价于：

$$\begin{pmatrix} \bar{A}^T \bar{P} \bar{A} + R - P & \bar{A}^T \bar{P} \bar{B} K Q_2 & \bar{A}^T \bar{P} \bar{B} K Q \bar{L} \\ Q_2^T K^T \bar{B}^T \bar{P} \bar{A} & Q_2^T K^T \bar{B}^T \bar{P} \bar{B} K Q_2 + M_1^T S M_1 - S & (Q_2^T K^T \bar{B}^T \bar{P} \bar{B} K Q_1 + M_1^T S M_2) \bar{L} \\ \bar{L}^T Q_1^T K^T \bar{B}^T \bar{P} \bar{A} & \bar{L}^T (Q_1^T K^T \bar{B}^T \bar{P} \bar{B} K Q_2 + M_2^T S M_1) & \bar{L}^T (Q_1^T K^T \bar{B}^T \bar{P} \bar{B} K Q_1 + M_1^T S M_2) \bar{L} - R \end{pmatrix} < 0 \quad (8)$$

$\text{rank} \begin{bmatrix} C \\ T \end{bmatrix} = n$ ，且满足：

① $TA - FT = GC$ ，

② $H = TB$ ，

③ $Q_1 C + Q_2 T = I$ ，

④ F 特征值都在单位圆内，则存在 Luenberger 降维观测器，其方程为

$$\begin{cases} z(k+1) = Fz(k) + G\bar{y}(k) + Hu(k) \\ \hat{x}(k) = Q_1 \bar{y}(k) + Q_2 \bar{y}(k) \end{cases} \quad (5)$$

式中 $z \in \mathbf{R}^{n-g}$ 。

本文采用上述降维状态观测器实现状态反馈，控制律 $u(k) = K\hat{x}(k)$ ，即式(5)为

$$\begin{cases} z(k+1) = M_1 z(k) + M_2 \bar{L}x(k-1) \\ x(k+1) = \bar{A}x(k) + \bar{B}KQ_1 \bar{L}x(k-1) + \bar{B}KQ_2 z(k) \end{cases} \quad (6)$$

式中， $M_1 = F + HKQ_2$ ； $M_2 = G + HKQ_1$ 。

引理 2 (Schur 补) 给定常数矩阵 A, P, Q ，其中， $Q = Q^T, P = P^T > 0$ ，则 $A^T P A + Q < 0$ 成立，当且仅当：

$$\begin{pmatrix} -P^{-1} & A \\ A^T & Q \end{pmatrix} < 0 \text{ 或 } \begin{bmatrix} Q & A^T \\ A & -P^{-1} \end{bmatrix} < 0$$

定理 1 对于 $L(k) \in \Omega$ (Ω 为 $L(k)$ 可能取值的有限离散集)，若存在共同的对称正定阵 P, S, R ，使得下面的矩阵不等式成立：

$$\begin{pmatrix} R - P & 0 & 0 & \bar{A}^T & 0 \\ 0 & -S & 0 & Q_2^T K^T \bar{B}^T & M_1^T \\ 0 & 0 & -R & \bar{L}^T Q_1^T K^T \bar{B}^T & \bar{L}^T M_2^T \\ \bar{A} & \bar{B} K Q_2 & \bar{B} K Q_1 \bar{L} & -P^{-1} & 0 \\ 0 & M_1 & M_2 \bar{L} & 0 & -S^{-1} \end{pmatrix} < 0 \quad (7)$$

则闭环系统式(6)是渐近稳定的。

证明 选择相应维数的对称正定矩阵 P, S 和 R ，令李亚普诺夫泛函 $V(k)$ 为

$$V(k) = x^T(k)Px(k) + z^T(k)Sz(k) + x^T(k-1)Px(k-1)$$

求差分：

式(8)可写为

$$\begin{pmatrix} \bar{A}^T \\ Q_2^T K^T B^T \\ \bar{L}^T Q_1^T K^T B^T \end{pmatrix} P \begin{pmatrix} \bar{A} & BKQ_2 & BKQ_1 \bar{L} \end{pmatrix} + \begin{pmatrix} R - P & 0 & 0 \\ 0 & M_1^T S M_1 - S & M_1^T S M_2 \bar{L} \\ 0 & \bar{L}^T M_2^T S M_1 & \bar{L}^T M_2^T S M_2 \bar{L} - R \end{pmatrix} < 0$$

根据引理, 上式即为

$$\begin{pmatrix} R - P & 0 & 0 & \bar{A}^T \\ 0 & M_1^T S M_1 - S & M_1^T S M_2 \bar{L} & Q_2^T K^T B^T \\ 0 & \bar{L}^T M_2^T S M_1 & \bar{L}^T M_2^T S M_2 \bar{L} - R & \bar{L}^T Q_1^T K^T B^T \\ \bar{A} & BKQ_2 & BKQ_1 \bar{L} & -P^{-1} \end{pmatrix} < 0 \quad (9)$$

上式又可写为

$$\begin{pmatrix} 0 \\ M^T \\ \bar{L}^T M_2^T \\ 0 \end{pmatrix} S \begin{pmatrix} 0 & M_1 & M_2 \bar{L} & 0 \end{pmatrix} + \begin{pmatrix} R - P & 0 & 0 & \bar{A}^T \\ 0 & -S & \bar{L} & Q_2^T K^T B^T \\ 0 & 0 & -R & \bar{L}^T Q_1^T K^T B^T \\ \bar{A} & BKQ_2 & BKQ_1 \bar{L} & -P^{-1} \end{pmatrix} < 0 \quad (10)$$

再次应用引理 2, 可得出式(7)成立, 即可得 $\Delta V(k) < 0$, 因此系统渐近稳定, 定理证毕。

由此, 归结出控制器的设计方法如下:

- ① 根据经验取降维观测器的参数 F, G , 根据引理 1 给的观测器的存在条件, 利用 Matlab7.1 求出 T, H, Q_1, Q_2 。
- ② 在 L 有故障的情况下, 用 Matlab7.1 的 LMI 工具箱找到可行的 P, S, R 。
- ③ 如果找到了, 则转④; 否则转①。
- ④ $F, G, H, Q_1, Q_2, K, P, S, R$ 即是所求。

4 仿真算例

设被控对象的状态方程为

$$\begin{cases} \dot{x}(t) = \begin{pmatrix} 1 & -2 & -2 \\ 0 & 1 & 1 \\ 1 & 0 & -1 \end{pmatrix} x(t) + \begin{pmatrix} 2 & -1 \\ 0 & 2 \\ 1 & 1 \end{pmatrix} u(t) \\ y(t) = \begin{pmatrix} 1 & 1 & 0 \\ 2 & -1 & 1 \end{pmatrix} x(t) \end{cases}$$

取采样周期 $T = 100 \text{ ms}$, 将系统离散化, 得:

$$\begin{cases} x(k+1) = \begin{pmatrix} 1.0945 & -0.2203 & -0.2100 \\ 0.0052 & 1.1048 & 0.0998 \\ 0.0998 & -0.0103 & 0.8948 \end{pmatrix} x(k) + \begin{pmatrix} 0.1993 & -0.1365 \\ 0.0053 & 0.2151 \\ 0.1048 & 0.0892 \end{pmatrix} u(k) \\ y(k) = \begin{pmatrix} 1 & 1 & 0 \\ 2 & -1 & 1 \end{pmatrix} x(k) \end{cases}$$

取降维观测器的极点为 0.5, 即 $F = 0.5$, 取 $G = [0.5 \ 0.5]$, 解得:

$$T = [-2.1465 \quad -0.8195 \quad -2.2007] \\ H = [-0.6629 \quad 0.0795]$$

$$Q_1 = \begin{pmatrix} 0.5725 & 0.4172 \\ 0.4275 & -0.4172 \\ -0.7176 & -0.2516 \end{pmatrix}, Q_2 = \begin{pmatrix} 0.1896 \\ -0.1896 \\ -0.5687 \end{pmatrix}$$

1) 当传感器 1 失效时, 也即 $L = \begin{pmatrix} 0 & 0 \\ 0 & 1 \end{pmatrix}$ 时,

得到 $t_{\min} = -0.3206 < 0$, 根据文献(8)可知, 此时系统存在可行解, 得到:

$$K = \begin{pmatrix} -1.1730 & -2.3085 & -0.8199 \\ 0.9356 & 0.5684 & -0.2802 \end{pmatrix}$$

$$P = \begin{pmatrix} 5.2208 & -0.1796 & -0.0767 \\ -0.1796 & 5.2347 & 0.0910 \\ -0.0767 & 0.0910 & 4.9525 \end{pmatrix}$$

$$R = \begin{pmatrix} 2.3361 & -0.0113 & 0.0250 \\ -0.0113 & 2.3040 & -0.0153 \\ 0.0250 & -0.0153 & 2.3191 \end{pmatrix}$$

$$S = 2.8105$$

此时系统的输出响应曲线, 如图 1 所示。

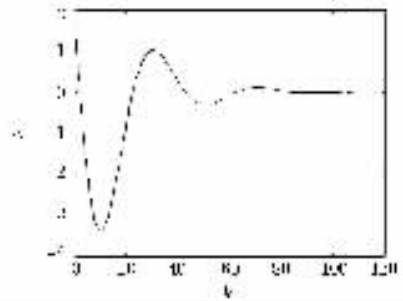


图 1 传感器 1 失效时的个别输出曲线

Fig.1 The output curve when sensor 1 is invalid

2) 当传感器 2 失效时, 也即传感器故障矩阵

$L = \begin{pmatrix} 1 & 0 \\ 0 & 0 \end{pmatrix}$ 时, 得到全局最优 $t_{\min} = -0.3136 < 0$ 。

此时系统输出响应曲线, 如图 2 所示。

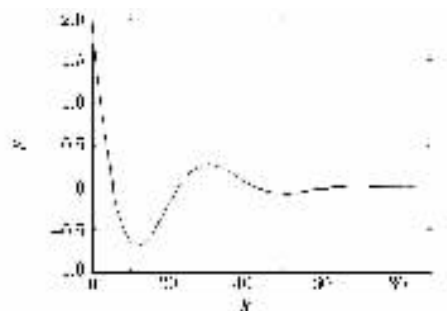


图 2 传感器 2 失效时的个别输出曲线

Fig.2 The output curve when sensor 2 is invalid

此时可得:

$$K = \begin{pmatrix} 2.9449 & -1.7412 & 0.3647 \\ 0.7249 & -0.4631 & 0.0098 \end{pmatrix}$$

$$P = \begin{pmatrix} 4.9699 & -0.1551 & -0.0974 \\ -0.1551 & 5.0126 & 0.1025 \\ -0.0974 & 0.1025 & 4.7148 \end{pmatrix}$$

$$R = \begin{pmatrix} 2.1665 & 0.0201 & 0.0059 \\ 0.0201 & 2.1639 & -0.0062 \\ 0.0059 & -0.0062 & 2.1711 \end{pmatrix}$$

$$S = 2.6383$$

3) 当两个传感器部分失效时, 即 $L =$

$$\begin{pmatrix} 0.5 & 0 \\ 0 & 0.5 \end{pmatrix}, \text{ 此时得到 } t_{\min} = -0.3125 < 0.$$

$$K = \begin{pmatrix} 0.5777 & -0.5580 & -0.8189 \\ 0.1807 & -0.1895 & -0.2833 \end{pmatrix}$$

$$P = \begin{pmatrix} 4.9880 & -0.1643 & -0.0902 \\ -0.1643 & 5.0094 & 0.1024 \\ -0.0902 & 0.1024 & 4.7237 \end{pmatrix}$$

$$R = \begin{pmatrix} 2.1832 & 0.0099 & 0.0135 \\ 0.0099 & 2.1577 & -0.0062 \\ 0.0135 & -0.0062 & 2.1776 \end{pmatrix}$$

$$S = 2.6432$$

4) 特殊的, 当传感器全部失效时, 即 $L =$

$$\begin{pmatrix} 0 & 0 \\ 0 & 0 \end{pmatrix} \text{ 时, 此时可得 } t_{\min} = -0.3179 < 0, \text{ 也就是}$$

仍然可以找到适当的控制器 K, P, R, S , 使得系统稳定。在这种情况下通过 Matlab7.1, 求得:

$$K = \begin{pmatrix} -0.6574 & 0.4428 & -1.5644 \\ -0.1438 & -0.1438 & -0.2592 \end{pmatrix}$$

$$P = \begin{pmatrix} 4.9358 & -0.1652 & -0.0978 \\ -0.1652 & 4.9787 & 0.1029 \\ -0.0978 & 0.1029 & 4.6891 \end{pmatrix}$$

$$R = \begin{pmatrix} 2.1406 & 0.0099 & 0.0059 \\ 0.0099 & 2.1380 & -0.0062 \\ 0.0059 & -0.0062 & 2.1554 \end{pmatrix}$$

$$S = 2.6191$$

(上接第305页)

从图10中可以看出, 最大超调量为6V, 调整时间约为400ms, 调整时间稍微长些, 原因是为避免在开机启动时负载上产生大的冲击电流, 将控制芯片的软启动时间设置的比较长(时间为360ms), 从第一个电压过冲后, 输出电压很快就衰减到60V; 输出电压稳定在60V后, 就不再变化。从图11可以看出, 负载发生变化时系统的动态响应时间为8ms左右, 说明了系统动态响应的快速性; 此外, 给定电压 U_{REF} 为2.5V时, 对应的理论输出电压为60V。图10, 图11为给定为2.5V时的输出电压, 说明系统的稳态误差为零。

5 结语

本文通过建立FB-ZVZCS变换器的小信号模型, 推导出了系统的开环传递函数, 设计了针对5kW系统的极点-零点补偿器, 并给出了极点-零点补偿

5 结语

本文针对传感器和控制器都是时钟驱动的网络控制系统, 在时延不大于一个采样周期的情况下, 利用Lyapunov理论和LMI方法, 推导出了在传感器故障的情况下保证闭环系统稳定的充分条件, 并给出了控制器K的设计方法。Matlab数值仿真算例说明了分析方法和结果的有效性。由于Luenberger观测器采用了降维设计, 所以结构简单、直接、便于实现, 具有重要的应用意义。

参考文献(References):

- [1] 王福利, 张颖伟. 容错控制[M]. 沈阳: 东北大学出版社, 2003. (Wang Fuli, Zhang Yingwei. Fault-tolerant control[M]. Shenyang: Northeastern University Press, 2003.)
- [2] 樊卫华, 蔡骅, 陈庆伟, 等. MIMO网络控制系统的容错控制[J]. 系统工程与电子技术, 2005, 27(5): 879-882. (Fan Weihua, Cai Hua, Chen Qingwei, et al. Fault-tolerant control of MIMO NCS[J]. Systems Engineering and Electronics, 2005, 27(5): 879-882.)
- [3] Luenberger D G. Observing the state of a linear system[J]. IEEE Trans Military Electronics, 1964, MIL-8(1): 74-80.
- [4] 刘志东, 刘丽华. 利用降维状态观测器离散系统的鲁棒容错控制[J]. 电机与控制学报, 2003, 7(4): 314-316. (Liu Zhidong, Liu Lihua. Robust fault-tolerant control for linear discrete state feedback systems with a reduced order observer[J]. Electric Machines and Control, 2003, 7(4): 314-316.)
- [5] Barmish B R, Galimidi A R. Robustness of Luenberger observers linear systems stabilized via non-linear control[J]. Automatica, 1986, 22(1): 413-423.
- [6] Trinh H, Aldeen M. A reduced-order state observer for large-scale discrete-time systems[J]. Computers Elect Engng, 1991, 23(5): 301-309.
- [7] Sundarapandian V. Reduced order observer design for nonlinear systems[J]. Applied Mathematics Letters, 2006, 19(9): 936-941.
- [8] 俞立. 鲁棒控制—线性矩阵不等式处理方法[M]. 北京: 清华大学出版社, 2002. (Yu Li. Robust control-method of linear matrix inequality[M]. Beijing: Tsinghua University Press, 2002.)

器设计的原则。仿真结果和实验结果表明, 基于FB-ZVZCS变换器的小信号模型设计的补偿器, 在保证系统稳定性的基础上, 可以提高系统的动态响应速度和控制精度。

参考文献(References):

- [1] 张占松, 蔡宣三. 开关电源的原理与设计[M]. 北京: 电子工业出版社, 2004. (Zhang Zhansong, Cai Xuansan. The principle and design of switching power supply[M]. Beijing: Publishing House of Electronics Industry, 2004.)
- [2] 王聪. 软开关功率变换器及其应用[M]. 北京: 科学出版社, 2000. (Wang Cong. The soft switch power converter and application[M]. Beijing: Science Press, 2000.)
- [3] Choi H S, Kim J W, Lee J H, et al. Modeling, analysis and design of 10 kW parallel module zero-voltage zero-current switched full bridge PWM converter[C]. New Orleans, USA IEEE APEC, 2000.
- [4] 李红平, 詹晓东. 采用峰值电流模式的全桥移相控制DC/DC变换器[J]. 电力电子技术, 2000, 2(1): 29. (Li Hongping, Zhan Xiaodong. A peak-current mode full-bridge phase-shifted PWM controlled DC/DC converter[J]. Power Electronics, 2000, 2(1): 29.)
- [5] Brown M. Power supply cookbook[M]. 徐德鸿, 沈旭, 译. 北京: 机械工业出版社, 2004. (Brown M. Power supply cookbook[M]. Translated by Xu Dehong, Shen Xu. Beijing: Machinery Industry Publishing House, 2004.)